

**Zeitschrift:** Orion : Zeitschrift der Schweizerischen Astronomischen Gesellschaft  
**Band:** 11 (1966)  
**Heft:** 97

**Artikel:** Mars 1965 : rapport no 14 du "Groupement planétaire SAS"  
**Autor:** Cortesi, S.  
**DOI:** <https://doi.org/10.5169/seals-900091>

### **Nutzungsbedingungen**

Die ETH-Bibliothek ist die Anbieterin der digitalisierten Zeitschriften. Sie besitzt keine Urheberrechte an den Zeitschriften und ist nicht verantwortlich für deren Inhalte. Die Rechte liegen in der Regel bei den Herausgebern beziehungsweise den externen Rechteinhabern. [Siehe Rechtliche Hinweise.](#)

### **Conditions d'utilisation**

L'ETH Library est le fournisseur des revues numérisées. Elle ne détient aucun droit d'auteur sur les revues et n'est pas responsable de leur contenu. En règle générale, les droits sont détenus par les éditeurs ou les détenteurs de droits externes. [Voir Informations légales.](#)

### **Terms of use**

The ETH Library is the provider of the digitised journals. It does not own any copyrights to the journals and is not responsible for their content. The rights usually lie with the publishers or the external rights holders. [See Legal notice.](#)

**Download PDF:** 06.10.2024

**ETH-Bibliothek Zürich, E-Periodica, <https://www.e-periodica.ch>**

## Mars 1965

Opposition: 9 mars 1965

Rapport N° 14 du «Groupement planétaire SAS»

par S. CORTESI

Observateur	E. ANTONINI	S. CORTESI	L. DALL'ARA	J. DRAGESCO
Lieu	Genève	Locarno-M.	Breganzona	Le Vésinet
Instrument	lunette 162 mm	télescope 250 mm	télescope 182 mm	télescopes 175/260 mm
Grossissement	220/310 ×	183 ×	230 ×	200/260/330 ×
Qualité moy. images	(4,5)	(6,5)	(4,2)	5
Dessins	4	1	2	23
Cotes d'intensité	—	—	7	370
Période d'observation	9. III. 65 29. III. 65	23. II. 65	30. III. 65 17. IV. 65	28. I. 65 28. IV. 65

### Considérations générales

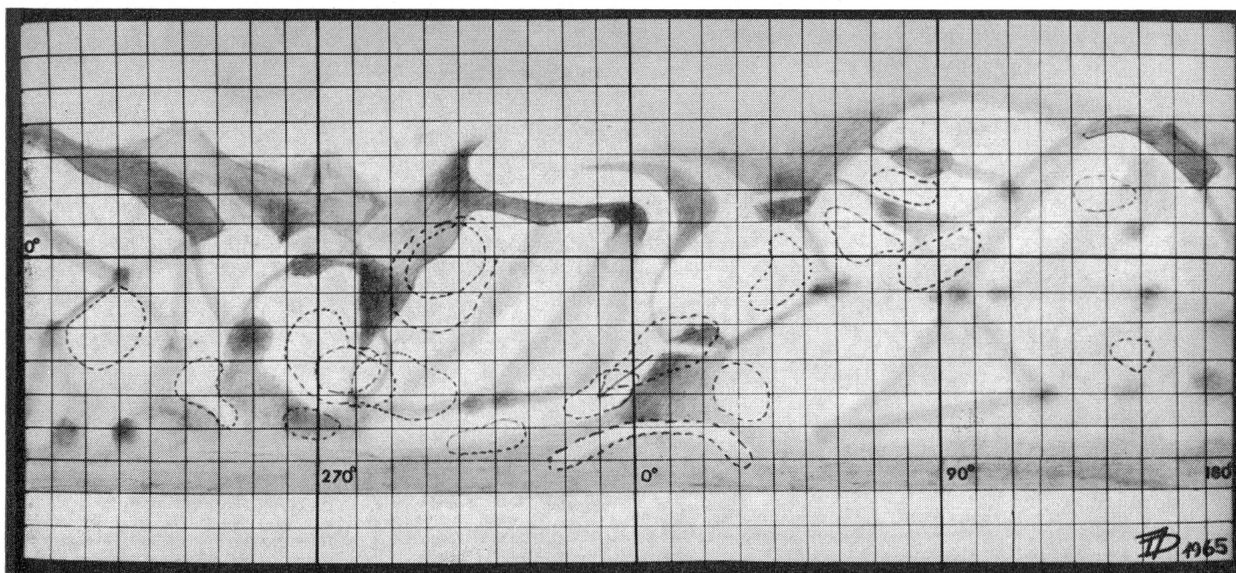
Pour cette présentation aphélique de *Mars*, les mêmes constatations sont valables que celles que nous avons faites pour la précédente (ORION N° 84); en effet, un seul observateur nous a envoyé une documentation de poids et nous tenons à le remercier ici et à le complimenter encore une fois pour son endurance exemplaire. Le disque de la planète, au moment de l'opposition, avait un diamètre de 14"; la latitude du centre du disque était à ce moment de +21°. Comme pendant la présentation de 1963, les régions de l'hémisphère boréal s'offraient le mieux à l'observation. Pour cet hémisphère l'été a commencé le 16 mars 1965 et pratiquement toutes nos observa-

tions s'étendent sur le printemps avancé et le début de l'été boréal.

### Description aréographique et cotes d'intensité

Les dessins, et encore mieux le planisphère, pourront donner une idée assez fidèle des détails observés.

En général, on a constaté une bonne visibilité des taches sombres de l'hémisphère boréal, sans différence notable par rapport à la présentation de 1963. *Syrtis Major* et *M. Acidalium* ont été les parties en moyenne les plus sombres de l'hémisphère. *M. Sirenum* et *M. Tyrrhenum* ont paru un peu plus faibles



Planisphère de *Mars* 1965 par M. J. DRAGESCO, tél. 175-260 mm.

qu'en 1963, tandis que *Lunae Palus*, *Solis L.*, *Tithonius L.* et *Niliacus L.* ont été plus sombres. Nous rappelons que pour les cotes d'intensité nous employons le système DE VAUCOULEURS (T = 0 blanc brillant, T = 10 noir, fond du ciel). Une particularité notable, observée à plusieurs reprises (v. dessin N° 10), a été l'invisibilité de *Pandorae Fretum*, qui n'est pas attribuable à des nuages. Plus sombres que d'habitude, les vagues taches des déserts *Amazonis*, *Arcadia* et

*Diacria*, dont nous avons identifié trois d'entre elles avec *Ascraeus L.* (100°, +15°), *Castorius L.* (150°, +45°) et *Nodus Gordii* (150°, +7°). On se souviendra que c'est cette même région qui a été photographiée par *Mariner IV* en juillet dernier.

Une nouvelle tache paraît être née à l'est de *Toth-Nodus Laocoontis*, à 225°, +25°, sur le bord ouest d'*Elysium*; elle est reliée au *Cerberus* par *Eunostos*, à la pointe de *Gomer Sinus* (*Cyclopi*) par une fine traî-

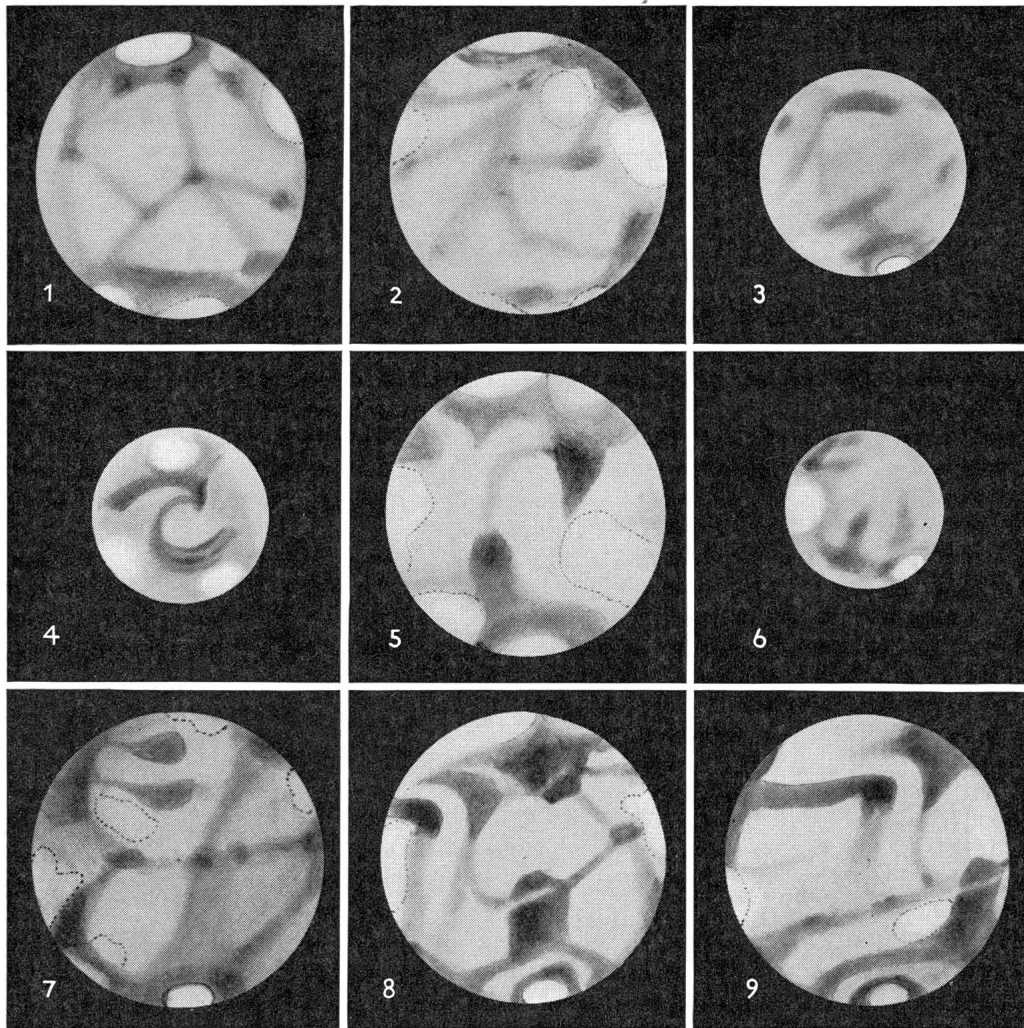


Fig. 1: 10 février 1965, 0<sup>h</sup>40 TU.  $\omega = 197^\circ$ ,  $d = 12.1''$ ,  $\varphi = +22.0^\circ$ ,  $\eta = 156^\circ$ . J. DRAGESCO, tél. 260 mm, 330 $\times$ , image 5.

Fig. 2: 22 février 1965, 0<sup>h</sup>25 TU.  $\omega = 87^\circ$ ,  $d = 13.5''$ ,  $\varphi = +21.4^\circ$ ,  $\eta = 162^\circ$ . J. DRAGESCO, tél. 260 mm, 330 $\times$ , 400 $\times$ , image 3-4.

Fig. 3: 23 février 1965, 22<sup>h</sup>00 TU.  $\omega = 151^\circ$ ,  $d = 13.5''$ ,  $\varphi = +21.4^\circ$ ,  $\eta = 162^\circ$ . S. CORTESI, tél. 250 mm, 183 $\times$ , image 6-7.

Fig. 4: 9 mars 1965, 21<sup>h</sup>40 TU.  $\omega = 270^\circ$ ,  $d = 14''$ ,  $\varphi = +21.2^\circ$ ,  $\eta = 168^\circ$ . E. ANTONINI, lun. 162 mm, 220 $\times$ , 310 $\times$ , image 3-4.

Fig. 5: 11 mars 1965, 22<sup>h</sup>45 TU.  $\omega = 264^\circ$ ,  $d = 14''$ ,  $\varphi = +21.2^\circ$ ,  $\eta = 169^\circ$ . J. DRAGESCO, tél. 175 mm, 260 $\times$ , 320 $\times$ , image 5.

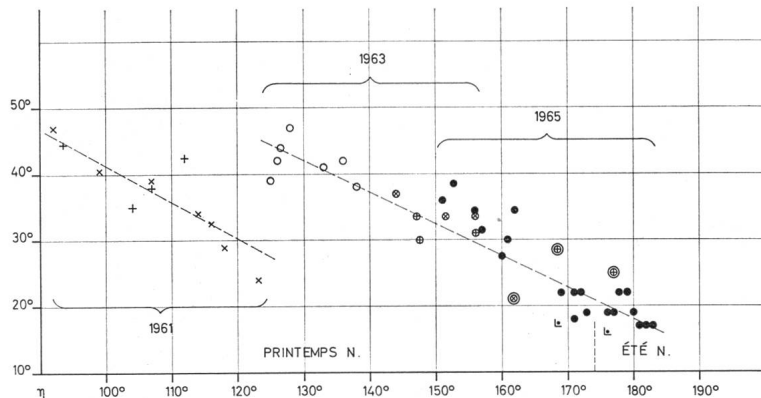
Fig. 6: 29 mars 1965, 21<sup>h</sup>10 TU.  $\omega = 86^\circ$ ,  $d = 13.5''$ ,  $\varphi = +21.2^\circ$ ,  $\eta = 178^\circ$ . E. ANTONINI, lun. 162 mm, 220 $\times$ , 310 $\times$ , image 5.

Fig. 7: 30 mars 1965, 22<sup>h</sup>30 TU.  $\omega = 88^\circ$ ,  $d = 13.4''$ ,  $\varphi = +21.2^\circ$ ,  $\eta = 179^\circ$ . J. DRAGESCO, tél. 175 mm, 200 $\times$ , 300 $\times$ , image 6-7.

Fig. 8: 4 avril 1965, 21<sup>h</sup>00 TU.  $\omega = 30^\circ$ ,  $d = 13''$ ,  $\varphi = +21.3^\circ$ ,  $\eta = 181^\circ$ . J. DRAGESCO, tél. 175 mm, 200 $\times$ , 300 $\times$ , image 6-7.

Fig. 9: 7 avril 1965, 20<sup>h</sup>30 TU.  $\omega = 356^\circ$ ,  $d = 12.6''$ ,  $\varphi = +21.5^\circ$ ,  $\eta = 182^\circ$ . J. DRAGESCO, tél. 175 mm, 200 $\times$ , 300 $\times$ , image 3-4.

Observateurs: Antonini + (1961) ● (1963) ⊙ (1965)  
 Cortesi x (1961) ● (1963) ⊙ (1965)  
 Dragesco ○ (1963) ● (1965)  
 photos Observatoire Lowell ⊔ (1965)



Mars, dimensions angulaires aréocentriques calotte polaire nord

née et, vers le nord, au *Sithonius L.* par une bande plus large (*V. planisphère*). Cette nouvelle tache, selon une notice parue dans *Sky and telescope*, a été notée par d'autres observateurs.

La calotte polaire nord, en régression, a été toujours bien visible avec son habituelle bordure sombre un peu moins contrastée qu'en 1963. L'intensité de la calotte, cotée  $T = 0$  en janvier, a diminué graduellement en passant à  $T = 0,8$  en avril. Dans le graphique ci-joint nous avons reporté ses dimensions angulaires aréocentriques, déduites des dessins pris par les membres de notre groupement pendant les trois dernières présentations de Mars. Les mesures effectuées sur des dessins n'ont naturellement rien d'absolu et représentant seulement en gros le phénomène du rétrécissement; nous avons néanmoins tenu à les présenter ici, car, à ce que nous avons constaté, les documents relatifs à la calotte boréale sont très rares. Les mesures, en degrés aréocentriques, ont été reportées en fonction de la longitude héliocentrique de la planète ( $\eta$ ). On voit tout de suite la forte dispersion des points, les écarts par rapport à la moyenne sont de  $\pm 7^\circ$  environ, mais nous avons noté que cette précision est à peu près la même que celle obtenue, pour la calotte australe en 1924, par les meilleurs observateurs de la planète (v. E. C. SLIPHER: «*Mars, the photographic story*», 1962).

D'après notre graphique on peut constater que pendant la présentation 1960-61 la calotte était plus petite que normalement, par rapport aux deux présentations suivantes. Les données se rapportant à 1963 et 1965 se complètent très bien, la régression moyenne pouvant être représentée par un trait continu. Il faut toutefois reconnaître que la différence constatée entre les données de 1961 et les autres pourrait être subjective et provenir de la surestimation des dimensions de la calotte en 1963 et 1965 à cause de la peti-

tesse de l'image planétaire ( $14''$  contre  $15'',4$  en 1961). Nous avons mesuré d'autre part les dimensions de la calotte sur deux photographies en lumière jaune faites à l'Observatoire Lowell de Flagstaff et reproduites dans *Sky and Telescope* (août 1965); les deux points correspondants ont été reportés dans notre graphique pour comparaison avec nos mesures.

En partie à cause de la forte déclinaison positive du centre du disque et aussi à cause de la saison (fin de l'automne), on n'a pas pu observer la calotte polaire australe, cachée par les fréquents voiles du bord extrême.

### Nuages

De nombreux nuages blancs observés par M. DRAGESCO ont été reportés en pointillé sur le planisphère et les dessins. En raison des observations peu nombreuses on n'a pas pu faire une étude des mouvements des nuages; la cote d'intensité qui leur a été attribuée a varié autour des valeurs  $T = 1-2$ .

### Conclusions

Mises à part les quelques petites particularités anormales citées plus haut, cette présentation de Mars nous a paru tout à fait régulière, comme la précédente (ORION N° 84). La seule notation un peu spéciale nous paraît celle relative à l'intensité des diverses taches sombres observées dans les déserts *Amazonis*, *Arcadia* et *Diacria*, outre la disparition de *Pandorae Fretum*, bien visible en 1963.

Tableau 1: cotes d'intensité T  
observateur: J. DRAGESCO

Nomenclat. UAI	T. (moy.)	Nomenclat. UAI	T. (moy.)				
<i>Acidalium M.</i>	7,0 (6)	<i>Isidis R.</i>	2,8 (1)	<i>Deltoton S.</i>	6,0 (1)	<i>Pblegra</i>	4,0 (2)
<i>Aurorae S.</i>	6,0 (8)	<i>Ismenius L.</i>	4,5 (4)	<i>Elysium</i>	1,7 (2)	<i>Phoenicis L.</i>	5,0 (2)
<i>Boreosyrtis</i>	5,5 (3)	<i>Lunae Palus</i>	4,6 (7)	<i>Erythraeum M.</i>	6,2 (4)	<i>Propontis</i>	5,7 (3)
<i>Boreum M.</i>	5,5 (1)	<i>Margaritifera S.</i>	6,4 (4)	<i>Eunostos</i>	4,0 (1)	<i>Sabaesus S.</i>	6,2 (2)
<i>Casius</i>	6,2 (2)	<i>Meridiani S.</i>	7,0 (6)	<i>Gebon</i>	4,0 (1)	<i>Serpentis M.</i>	6,7 (4)
<i>Castorius L.</i>		<i>Moeris L.</i>	5,5 (1)	<i>Hellas</i>	1,6 (2)	<i>Sirenum M.</i>	6,0 (8)
(150°, +45°)	5,5 (1)	<i>Nepenthes</i>	4,0 (1)	<i>Hellespontus</i>	1,6 (1)	<i>Sithonius L.</i>	6,5 (1)
<i>Ceraunius</i>	3,5 (1)	<i>Niliacus L.</i>	6,0 (4)	<i>Gordii Nodus</i>		<i>Solis L.</i>	5,0 (6)
<i>Cerberus</i>	4,2 (6)	<i>Nilokeras</i>	4,2 (2)	(150°, +7°)	4,0 (3)	<i>Syrtis M.</i>	7,2 (4)
<i>Araxes</i>	3,9 (4)	<i>Nilosyrtis</i>	5,0 (4)	<i>Autres rég. désert.</i>	2,5 (14)	<i>Thoth</i>	5,3 (3)
<i>Ascraeus L.</i>		<i>Oxus</i>	3,5 (3)	<i>Frange sombre N.</i>	5,5 (16)	<i>Titbonius L.</i>	4,9 (6)
(100°, +15°)	4,5 (6)	<i>Pandorae Fretum</i>	2,0! (1)	<i>Calotte polaire N.</i>	0,5 (15)	<i>Trivium Charontis</i>	4,8 (3)
				<i>Hesperia</i>	3,0 (1)	<i>Tyrrhenum M.</i>	5,2 (2)
				<i>Iapygia</i>	6,5 (1)		

(entre parenthèses le nombre des observations).

## Langbrennweitige Aufnahmen des Planeten Jupiter

von A. KÜNG, Allschwil

Diese Aufnahmen wurden mit einem Spiegelteleskop in Anordnung von NEWTON (Oeffnung 20,7 cm, Brennweite 148,0 cm) in Okularprojektion erhalten. Die Brennweiten f der Okulare

betragen 7,5, 10, 15 mm, so dass sich effektive Brennweiten F von 49, 37 und 22 Metern ergaben. Die Belichtungszeiten B des Ektachrome-Filmes lagen zwischen 2 und 12 Sekunden

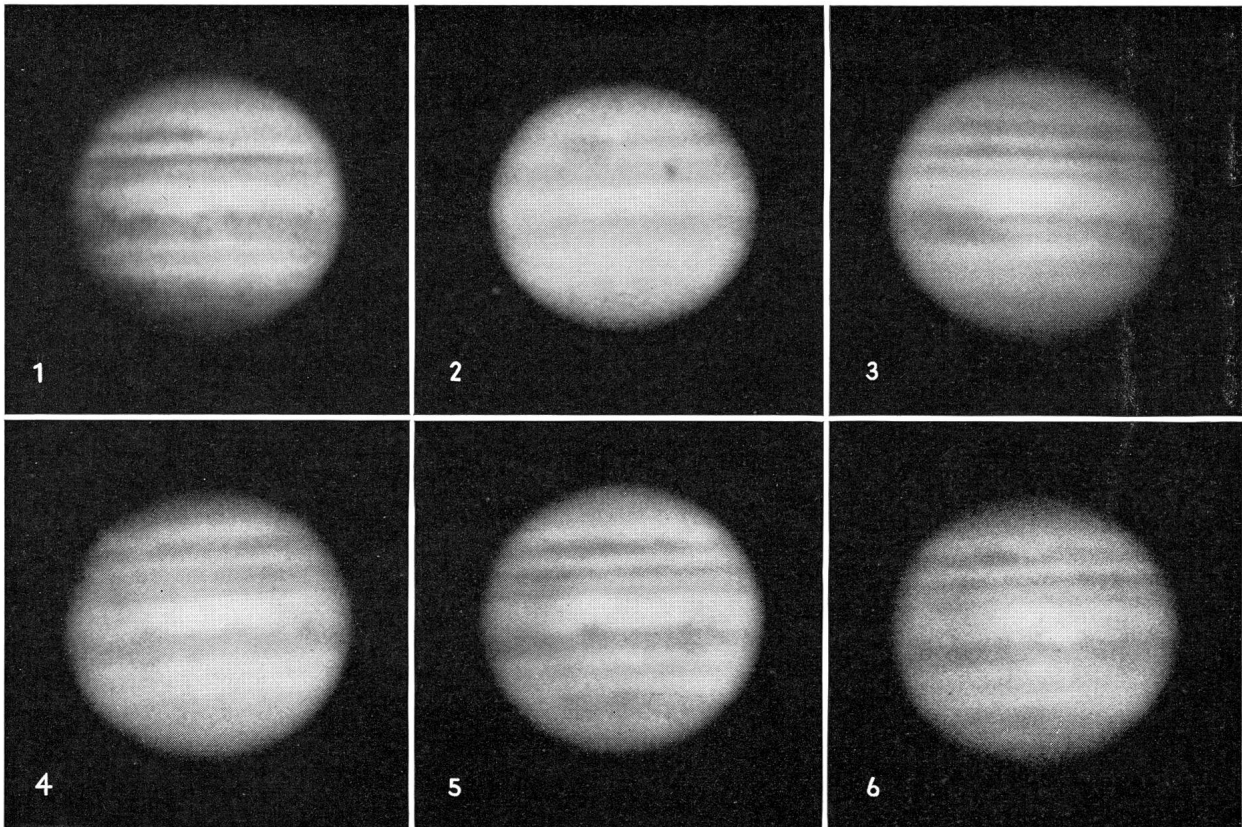


Bild 1: 28. 11. 1965, UT = 0<sup>h</sup> 34<sup>m</sup>, B = 2 sec, f = 15 mm, F = 22 m  
 Bild 2: 12. 2. 1966, 20<sup>h</sup> 37<sup>m</sup>, 2,5 sec, 15 mm, 22 m  
 rechts Schatten des Mondes I, links roter Fleck  
 Bild 3: 16. 3. 1966, 19<sup>h</sup> 57<sup>m</sup>, 10 sec, 7,5 mm, 49 m (!<sup>1</sup>)  
 Bild 4: 14. 12. 1965, 20<sup>h</sup> 58<sup>m</sup>, 12 sec, 10 mm, 37 m  
 Austritt des Mondes II aus dem Schatten  
 Bild 5, 14. 12. 1965, 22<sup>h</sup> 16<sup>m</sup>, 10 sec, 10 mm, 37 m  
 Bild 6: 23. 12. 1965, 23<sup>h</sup> 26<sup>m</sup>, 10 sec, 10 mm, 37 m  
 1) Die Redaktion